

© 2022 г. К.С. ЯКОВЛЕВ, канд. физ.-мат. наук (yakovlev@isa.ru),  
Ю.С. БЕЛИНСКАЯ, канд. физ.-мат. наук (belinskaya.us@gmail.com),  
Д.А. МАКАРОВ, канд. физ.-мат. наук (makarov@isa.ru),  
(Федеральный исследовательский центр  
“Информатика и управление” РАН, Москва),  
А.А. АНДРЕЙЧУК (andreychuk@mail.com)  
(Институт искусственного интеллекта AIRI, Москва;  
Российский университет дружбы народов, Москва)

## БЕЗОПАСНО-ИНТЕРВАЛЬНОЕ ПЛАНИРОВАНИЕ И МЕТОД НАКРЫТИЙ ДЛЯ УПРАВЛЕНИЯ ДВИЖЕНИЕМ МОБИЛЬНОГО РОБОТА В СРЕДЕ СО СТАТИЧЕСКИМИ И ДИНАМИЧЕСКИМИ ПРЕПЯТСТВИЯМИ<sup>1</sup>

Рассматривается задача управления движением колесного мобильного робота с дифференциальным приводом в среде со статическими и динамическими препятствиями. Предлагается многоэтапный подход к решению этой задачи, основанный на применении методов эвристического поиска для решения задачи планирования траектории и методов теории автоматического управления для следования по траектории. Результаты проведенных экспериментальных исследований (численного моделирования) свидетельствуют о том, что предложенный метод следования по траектории на порядок быстрее, чем один из наиболее распространенных в робототехнике законов управления — управление с прогнозирующими моделями (MPC, Model Predictive Control), и способен обеспечивать высокое качество работы. При этом само планирование осуществляется за приемлемое время.

*Ключевые слова:* планирование траектории, мобильная робототехника, плоская система, динамические препятствия, примитивы движений.

**DOI:** 10.31857/S0005231022060083, **EDN:** ACWFDF

### 1. Введение

Движение к цели в среде со статическими и динамическими препятствиями — одна из фундаментальных проблем робототехники. Можно выделить два различных подхода к ее решению: реактивный и делиберативный. В рамках первого подхода (см., например, алгоритмы семейства BUG [1] или ORCA [2]) реализуются законы управления, направленные на избегание столкновений и продвижение к цели. При этом законы опираются лишь на локальные наблюдения агента (мобильного робота). В рамках второго

---

<sup>1</sup> Исходный код алгоритма планирования доступен по ссылке: [bit.ly/3mEВK59](http://bit.ly/3mEВK59). Видеодемонстрация доступна по адресу: [youtu.be/cYm3Q1tHRnU](https://youtu.be/cYm3Q1tHRnU).

подхода обычно происходит декомпозиция задачи навигации на планирование траектории и следование по ней. Алгоритмы планирования, такие как D\*Lite [3] (для статических сред) или SIPP [4] (для сред с динамическими препятствиями), формируют желаемую траекторию, следование по которой обеспечивается с помощью методов теории управления, например с помощью управления с прогнозирующими моделями — MPC [5], часто применяющегося в мобильной робототехнике.

В данной статье предполагается, что управляемый мобильный агент — это колесный робот с дифференциальным приводом, а модель окружающего пространства (карта) известна заранее. Также предполагается, что у робота имеется отдельная система предсказания траекторий движения динамических препятствий (например, основанная на техническом зрении). Более того, предполагается, что карта и предсказанные траектории движения динамических объектов являются точными. Это весьма сильное допущение, которое, однако, позволяет разделить задачи построения модели окружающего мира и планирования в этой модели. В статье рассматривается вторая задача — планирование и исполнение плана в заранее известной (динамической) модели мира. Для ее решения представляется целесообразным использование делиберативного подхода, а именно: сначала строится траектория, которая избегает столкновения со статическими и динамическими препятствиями, затем осуществляется следование по ней.

При реализации такого подхода возникают следующие трудности. Во-первых, при планировании необходим учет временного измерения для того, чтобы избежать столкновений с динамическими препятствиями, т.е. планирование должно осуществляться не только в пространстве, но и во времени. Во-вторых, необходимо также учитывать кинематические и динамические ограничения рассматриваемого робота, для того чтобы впоследствии регулятор робота смог обеспечить движение по спланированной траектории с высокой точностью.

Для преодоления указанных трудностей в статье предлагается следующая схема решения задачи. Сначала происходит построение множества кинематически и динамически согласованных примитивов движения — коротких отрезков траектории, удовлетворяющих ограничениям на динамику движения объекта управления. Это построение использует свойство плоскостности системы, описывающей движение робота с дифференциальным приводом. Для построения примитивов используется метод, основанный на понятии накрытия [6], который позволяет свести задачу терминального управления (краевую задачу) к двум связанным задачам Коши, получение решений для которых — гораздо более простая задача, чем получение решения исходной краевой задачи напрямую. Кроме того, метод накрытий позволяет находить не только траекторию маневра, но и программное управление, реализующее движение по заданному примитиву (это используется в дальнейшем при разработке регулятора). Построенные примитивы движения интегрируются далее в алгоритм безопасно-интервального планирования SIPP [4], который в

явном виде позволяет оперировать интервалами времени и, таким образом, учитывать темпоральный аспект задачи планирования. Также при построении траектории учитываются ограничения на линейную скорость движения робота. Результатом работы планировщика является траектория, избегающая столкновений как со статическими, так и с динамическими препятствиями. Наконец, для следования по спланированной траектории предлагается оригинальный закон управления, который вновь опирается на свойство плоскостности системы движения робота и обеспечивает следование по траектории с высокой точностью.

В рамках проведенного экспериментального исследования (численного моделирования) показано, что *а)* предлагаемый алгоритм планирования способен строить траектории в средах с высоким числом динамических препятствий за приемлемое время (менее 1/4 секунды в тестах на стандартном современном (2021 г.) вычислителе с процессором Intel Core i5); *б)* предлагаемый регулятор на порядок быстрее, чем наиболее часто используемый в робототехнике регулятор MPC [5]; *в)* ошибка следования по траектории для предлагаемого регулятора ниже, чем ошибка MPC.

Новые научные результаты статьи состоят в следующем.

— Предлагается новый метод построения кинематически и динамически согласованных примитивов движения, учитывающий ограничения на динамику движения мобильного робота с дифференциальным приводом.

— Предлагается оригинальный алгоритм планирования, который использует построенные примитивы движения и опирается на подход безопасно-интервального планирования для построения траектории, избегающей столкновений как со статическими, так и с динамическими препятствиями.

— Предлагается оригинальный закон управления движением робота (регулятор) для следования по построенной траектории, который характеризуется высоким быстродействием и низкой ошибкой следования по траектории.

Дальнейший текст статьи структурирован следующим образом. В разделе 2 приводится обзор литературы, релевантной теме исследования. Раздел 3 содержит формальную постановку рассматриваемой задачи. Способ решения этой задачи описывается в общем виде в разделе 4 и далее конкретизируется в разделах 5–7. Раздел 8 посвящен экспериментальным исследованиям и их результатам. Заключительный раздел 9 содержит описание перспективных направлений дальнейших исследований.

## 2. Обзор литературы

### *2.1. Построение примитивов движения*

Понятие примитивов движения достаточно часто возникает в литературе по планированию, когда речь идет о построении траекторий с помощью методов эвристического поиска [7] или методов, основанных на сэмплинговании [8]. Характерным примером использования примитивов движения при планировании является публикация [9]. Стоит отметить, что на практике для

построения примитива движения необходимо решить задачу терминального управления или краевую задачу с двумя условиями (на начало и конец примитива). Для этого в [10] предлагается метод стрельбы (shooting method), который предполагает постоянное управляющее воздействие. Более универсальный подход предлагается в [11]. В [12] описывается подход к построению примитивов движения для плоских динамических систем с применением  $B$ -сплайнов. Авторы настоящей статьи также используют свойство плоскостности, однако построение примитива происходит за счет более универсального метода накрытий [6].

## *2.2. Планирование в среде с динамическими препятствиями*

Часто эта нетривиальная задача сводится к постоянному перепланированию, при котором положения динамических препятствий фиксируются в момент очередного перестроения плана [13]. При этом на этапе планирования нет необходимости учета временной компоненты, что можно считать определенным преимуществом. С другой стороны, этот подход может не находить решения, хотя оно существует. Для непосредственного учета динамики окружающей среды на этапе планирования обычно вводят в рассмотрение дискретную шкалу времени и применяют методы эвристического поиска, которые расширяют состояния поиска соответствующими временными отметками [14]. Более универсальный подход, развивающий эту идею, предложен в [4], где представлен алгоритм безопасно-интервального планирования SIPP. В данной статье предлагается адаптация этого алгоритма, позволяющая конструировать траекторию из примитивов движения.

## *2.3. Следование по траектории*

К настоящему моменту известно множество методов, предназначенных для выработки управляющих воздействий для обеспечения следования по заданной траектории, например: линеаризация обратной связи [15], метод обратного хода (backstepping) [16], управление с плавающим окном [17], управление с прогнозирующими моделями (MPC) [18] и др. Если управляемая система является плоской [19], то перспективным представляется создание законов управления, опирающихся на это свойство [20, 21]. Для подобных систем известен ряд подходов к построению законов управления [19, 22]. Например, распространен подход, при котором осуществляется линеаризация статической обратной связи и выбор траектории в виде полиномиальной зависимости от времени [22]. В данной работе подобный подход комбинируется с методом накрытий [23].

## **3. Постановка задачи**

Рассмотрим колесный мобильный робот с дифференциальным приводом (см. рис. 1, *a*), динамическая модель которого имеет общий вид:  $\dot{\mathbf{x}} = f(\mathbf{x}, \mathbf{u})$ ,

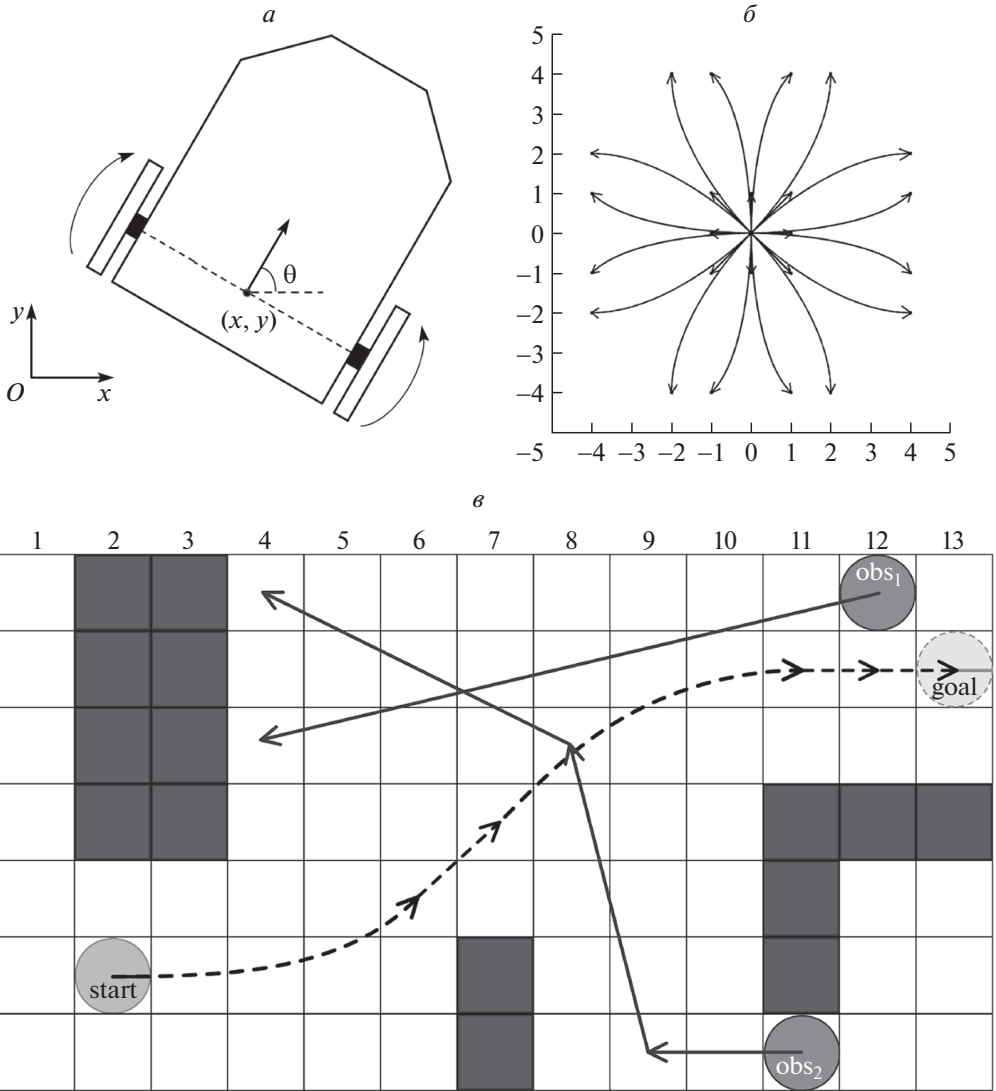


Рис. 1. *a* – Мобильный робот с дифференциальным приводом; *б* – Подмножество предлагаемых в статье примитивов движения робота; *в* – Пример траектории, избегающей столкновений со статическими и динамическими препятствиями. Анимация этого примера доступна по ссылке: [youtu.be/cYm3Q1tHRnU](https://youtu.be/cYm3Q1tHRnU).

где  $f$  – вектор-функция,  $\mathbf{x}$  – состояние,  $\mathbf{u}$  – управление, а  $\dot{\mathbf{x}} = dx/dt$  – производная по времени, задана, в частности, следующим образом [24]:

$$(1) \quad \dot{x} = v \cos \theta, \quad \dot{y} = v \sin \theta, \quad \dot{\theta} = \omega, \quad t \in \mathcal{T}.$$

Здесь  $\mathcal{T} = [0, \infty)$  – время,  $(x, y)$  – положение центра колесной оси робота,  $\theta$  – угол ориентации. Управление,  $\mathbf{u} = (v, \omega)^T$ , состоит из линейной и угловой скоростей. Знак  $^T$  обозначает транспонирование.

Имеются также ограничения на максимальные скорости и ускорения как линейные, так и угловые. Множество допустимых управлений задается в виде

$$\mathbf{U} = \left\{ \mathbf{u} : |v| \leq v_{\max}, \left| \frac{dv}{dt} \right| \leq a_{\max}, |\omega| \leq \omega_{\max}, \left| \frac{d\omega}{dt} \right| \leq \varepsilon_{\max} \right\}.$$

Рабочее пространство робота — это замкнутое подмножество в  $\mathbb{R}^2$  (Евклидовом двумерном пространстве):  $\mathcal{W} = \mathcal{W}_{free} \cup \mathcal{W}_{obs}$ , где  $\mathcal{W}_{free}$  — свободное пространство,  $\mathcal{W}_{obs}$  — статические препятствия. Множество всех допустимых состояний робота,  $(x, y, \theta)$ , с учетом статических препятствий обозначим как  $\mathcal{C}_{free}$ . Помимо робота в среде перемещается фиксированное число динамических препятствий. Их траектории считаются известными, поэтому обозначим через  $\mathcal{C}_{free}(t) \subset \mathcal{C}_{free}$  множество безопасных состояний робота в момент времени  $t$ , т.е. таких состояний, в которых не происходит столкновения ни со статическими, ни с динамическими препятствиями.

Решаемая задача формулируется следующим образом. Пусть задано начальное,  $\mathbf{x}^0 = \mathbf{x}(0) \in \mathcal{C}_{free}(0)$ , и целевое,  $\mathbf{x}^f \in \mathcal{C}_{free}$ , состояния робота. Необходимо найти такое управление  $\mathbf{u}(\mathbf{x}(t), t)$ ,  $t \in [0, T_f]$ , которое переводит (1) из  $\mathbf{x}^0$  в  $\mathbf{x}^f$ , так что  $\mathbf{x}(t) \in \mathcal{C}_{free}(t) \forall t \in [0, T_f]$  и  $\mathbf{u} \in \mathbf{U}$ . Заметим, что в данной статье предполагается, что после достижения целевого состояния робот не исчезает. Это обстоятельство накладывает следующее дополнительное требование:  $\forall t > T_f : \mathbf{x}(t) \in \mathcal{C}_{free}(t)$ . Другими словами, представляет интерес не просто сам факт достижения роботом цели, а достижение цели в такой момент времени, что робот может безопасно оставаться в целевом положении сколь угодно долго. Также заметим, что при решении поставленной задачи целесообразно минимизировать  $T_f$ , хотя формальное требование к достижению минимально возможного значения  $T_f$  в данной постановке отсутствует.

#### 4. Общее описание предлагаемого подхода

В сложных средах с динамическими препятствиями решение поставленной задачи поиска допустимого управления с учетом ограничений напрямую не представляется эффективным с вычислительной точки зрения [25]. Поэтому целесообразным является применение декомпозиционного подхода, когда сначала ищется траектория (зависимость переменных состояния от времени), а затем управление строится целенаправленно для следования по этой траектории [12]. Соответственно в данной статье предлагается декомпозиция исходной задачи на следующие три подзадачи: построение выполнимых примитивов движения, планирование траектории, избегающей столкновения со статическими и динамическими препятствиями, в виде последовательности таких примитивов, следование по построенной траектории.

На первом шаге осуществляется построение примитивов движения, учитывающих динамическую модель рассматриваемой робототехнической системы, а также ограничения на управление:  $\mathbf{u} \in \mathbf{U}$ . При этом ограничения на состояния на данном этапе не учитываются. Формально примитивы движения представляются как зависимости переменных состояния от времени:  $\bar{x}(t)$ ,

$\bar{y}(t), \bar{\theta}(t)$ . Неформально каждый примитив — это короткий (как в пространственном, так и в темпоральном измерениях) фрагмент траектории, учитывающий кинематические и динамические ограничения объекта управления (колесного робота). Примеры подобных примитивов показаны на рис. 1, б.

На втором шаге построенные примитивы используются в качестве базовых блоков при решении задачи планирования траектории, т.е. траектория конструируется из них. На этом этапе осуществляется учет ограничений на  $\mathbf{x}$ , т.е. траектория планируется таким образом, чтобы избежать столкновений как со статическими, так и с динамическими препятствиями. Также для этой цели при планировании используются неявно определенные действия ожидания. Результатом работы алгоритма планирования (планировщика) является последовательность согласованных в пространстве и времени примитивов (а также действий ожидания определенной продолжительности), т.е. желаемая траектория движения, которую обозначим как  $\mathbf{x}^*(t) = (x^*(t), y^*(t), \theta^*(t))^T$ . Пример траектории, составленной из примитивов (и действий ожидания), показан на рис. 1, в. Анимация этого примера доступна по ссылке: [youtu.be/cYm3Q1tHRnU](https://youtu.be/cYm3Q1tHRnU).

На третьем шаге следование по траектории  $\mathbf{x}^*(t)$  осуществляется за счет построения допустимого управления  $\mathbf{u}(\mathbf{x}, t) \in \mathbf{U}$ , которое обеспечивает асимптотическую стабильность системы (1) в окрестности  $\mathbf{x}^*(t)$ .

Далее опишем указанные шаги более подробно.

## 5. Построение примитивов

Известно, что система (1) является (*дифференциально плоской*) [19], т.е. для этой системы известен набор функций плоского выхода, причем все переменные состояния и управления могут быть выражены в терминах плоского выхода и конечного числа его производных. В рассматриваемом случае плоский выход имеет вид:

$$(2) \quad \zeta_1 = x, \quad \zeta_2 = y.$$

Действительно, все переменные состояния,  $x, y, \theta$ , и управления,  $v, \omega$ , могут быть выражены через функции (2) и их производные первого порядка следующим образом:

$$(3) \quad x = \zeta_1, \quad y = \zeta_2, \quad \theta = \arctan \frac{\dot{\zeta}_1}{\dot{\zeta}_2}, \quad v = \sqrt{\dot{\zeta}_1^2 + \dot{\zeta}_2^2},$$

$$\omega = \frac{d}{dt} \left( \sqrt{\dot{\zeta}_1^2 + \dot{\zeta}_2^2} \right) = \frac{\dot{\zeta}_1 \ddot{\zeta}_1 + \dot{\zeta}_2 \ddot{\zeta}_2}{\sqrt{\dot{\zeta}_1^2 + \dot{\zeta}_2^2}}.$$

Вводя дополнительную переменную  $\xi = v = \sqrt{\dot{\zeta}_1^2 + \dot{\zeta}_2^2}$ , получаем расширенную систему [22]:

$$\dot{x} = \xi \cos \theta, \quad \dot{y} = \xi \sin \theta,$$

$$(4) \quad \dot{\theta} = \frac{1}{\xi}(\psi_1 \sin \theta - \psi_2 \cos \theta), \quad \dot{\xi} = \psi_1 \cos \theta + \psi_2 \sin \theta,$$

которая эквивалентна системе нормальной формы Бруновского второго порядка:

$$(5) \quad \ddot{\zeta}_1 = \psi_1, \quad \ddot{\zeta}_2 = \psi_2.$$

Обозначим через  $\tilde{\mathbf{x}}$  расширенный вектор состояния  $\tilde{\mathbf{x}} = (x, y, \theta, \xi)^T$ , а через  $\psi$  – новое управление:  $\psi = (\psi_1, \psi_2)^T$ . Заметим, что система (1) плоская в области  $v \neq 0$ .

Будем использовать свойство плоскостности для построения примитивов движения. Примитив движения определим как решение следующей задачи терминального управления для (4):

$$(6) \quad x(0) = x_0, \quad y(0) = y_0, \quad \theta(0) = \theta_0, \quad \xi(0) = \xi_0 \neq 0,$$

$$(7) \quad x(t_f) = x_f, \quad y(t_f) = y_f, \quad \theta(t_f) = \theta_f, \quad \xi(t_f) = \xi_f \neq 0,$$

которая может быть переписана в терминах плоского выхода следующим образом:

$$(8) \quad \zeta_i(0) = \zeta_{i0}, \quad \dot{\zeta}_i(0) = \dot{\zeta}_{i0},$$

$$(9) \quad \zeta_i(t_f) = \zeta_{if}, \quad \dot{\zeta}_i(t_f) = \dot{\zeta}_{if}, \quad i = 1, 2.$$

Граничные условия  $x_0, x_f, y_0, y_f, \theta_0, \theta_f, \xi_0, \xi_f$ , а также продолжительность  $t_f$  определяют конкретный примитив движения.

Для решения терминальной задачи (8) будет использоваться метод накрытий [23] для плоских систем [26]. Сначала находим  $\gamma$ -замыкание — систему дифференциальных уравнений, все решения которой являются решениями изначальной системы. Поскольку рассматриваемая задача имеет 8 граничных условий, в качестве  $\gamma$ -замыкания можно выбрать любую систему восьмого порядка [26]. Для простоты выберем систему

$$(10) \quad \zeta_i^{(4)} = 0, \quad i = 1, 2.$$

Для решения (10) нужно получить начальные условия на вторую и третью производные  $\zeta_i$ . Для этого рассмотрим вспомогательные функции

$$(11) \quad p_i = \zeta_i - \frac{1}{2}(t_f - t)^2 \ddot{\zeta}_i - \frac{1}{3}(t_f - t)^3 \dddot{\zeta}_i, \quad i = 1, 2,$$

производные по времени которых с учетом (10) равны

$$(12) \quad \dot{p}_i = \dot{\zeta}_i + (t_f - t) \ddot{\zeta}_i + \frac{1}{2}(t_f - t)^2 \dddot{\zeta}_i,$$

$$(13) \quad \ddot{p}_i = 0, \quad i = 1, 2.$$



Теперь начальные условия на вторую и третью производные  $\zeta_i$  могут быть вычислены с помощью следующего алгоритма.

*Шаг 1.* Вычисляем  $p_i(t_f)$  и  $\dot{p}_i(t_f)$ ,  $i = 1, 2$ , из соотношений (9) и (12) подстановкой  $t = t_f$  и  $\dot{\zeta}_i(t_f) = \zeta_{if}$  соответственно.

*Шаг 2.* Решаем задачу Коши для системы дифференциальных уравнений (13) с начальными условиями  $p_i(t_f)$ ,  $\dot{p}_i(t_f)$ ,  $i = 1, 2$ , в сторону уменьшения времени. В результате получим зависимости от времени  $p_i(t)$ ,  $i = 1, 2$ ,  $t \in [0, t_f]$ .

*Шаг 3.* Вычисляем  $p_i(0)$ ,  $\dot{p}_i(0)$ ,  $i = 1, 2$ .

*Шаг 4.* Подставляем найденные значения в (11), (12), полагая  $t = 0$ , и разрешаем уравнения (11), (12) относительно  $\ddot{\zeta}_i(0)$ ,  $\zeta_i(0)$ ,  $i = 1, 2$ .

В результате будет получен полный набор начальных условий для (10), и можно решить задачу Коши для этого уравнения. Решение дает примитив движения для заданных граничных условий и продолжительности движения. Дифференцируя найденные функции  $\zeta_i(t)$  по времени, получим программное управление, реализующее движение вдоль найденного маневра:

$$(14) \quad \psi_i = \ddot{\zeta}_i, \quad i = 1, 2.$$

### 5.1. Примитивы для реализации перемещения

Описанный выше алгоритм позволяет построить любой примитив для перемещения из заданной начальной точки  $(x_0, y_0, \theta_0, v_0)$  в заданную конечную точку  $(x_f, y_f, \theta_f, v_f)$ , если начальная,  $v_0$ , и конечная,  $v_f$ , скорости не равны нулю. В настоящей статье граничные условия для примитивов перемещения выбираются следующим образом:

- $x_0 = 0$ ,  $y_0 = 0$ , а значения  $x_f$ ,  $y_f$  — целые числа. Это позволяет ввести дискретизацию рабочего пространства таким образом, чтобы робот перемещался из центра одной ячейки в центр другой;
- Продолжительность примитива  $t_f$  выбирается вручную таким образом, чтобы она была как можно меньше при соблюдении ограничений на управление (на практике расчет примитива начинается с достаточно большого значения  $t_f$ , которое затем уменьшается с повторением процедуры расчета до тех пор, пока не будут нарушены ограничения на управление);
- $v_0, v_f \in [\sigma, v_d]$ , где  $\sigma$  — небольшое положительное число, нужное для того, чтобы избежать неуправляемости расширенной системы при  $v = 0$ , и  $v_d < v_{\max}$  — желаемая скорость.

Полагая  $v_0 = \sigma$  и  $v_f = v_d$ , имеем маневр разгона от полной остановки, а  $v_0 = v_d$  и  $v_f = \sigma$  — торможение до полной остановки.

Параметры  $v_0 = v_f = v_d$  задают равномерное движение.

Наконец, параметры  $v_0 = v_f = \sigma$  задают маневр, при котором робот начинает движение от остановки, далее разгоняется, затем тормозит и снова останавливается;

- $\theta_0 = k \cdot \frac{\pi}{4}$ ,  $k = 0, \dots, 7$  и  $\theta_f \in [\theta_0 - \frac{\pi}{4}, \theta_0, \theta_0 + \frac{\pi}{4}]$ . Таким образом, начальная и конечная ориентации примитивов принимают ограниченный набор значений с шагом  $45^\circ$ , и робот в процессе исполнения примитива может либо изменить ориентацию на  $45^\circ$ , либо оставить ее без изменений (при прямолинейном движении).

На рис. 1,б изображены в качестве примера проекции на плоскость  $Oxy$  примитивов разгона. Всего в данной статье было построено 96 различных примитивов перемещения. При построении примитивов использовались следующие ограничения на максимальную и желаемую скорость, а также на максимальное ускорение:

$$(15) \quad \begin{aligned} v_d = 1 \text{ м/с}, \quad v_{\max} = 1,2 \text{ м/с}, \quad a_{\max} = 1 \text{ м/с}^2, \\ \omega_{\max} = \frac{\pi}{2} \text{ 1/с}, \quad \varepsilon_{\max} = \frac{\pi}{2} \text{ 1/с}^2. \end{aligned}$$

### 5.2. Примитивы для поворота на месте

Описанный выше подход нельзя использовать для конструирования примитивов, задающих поворот на месте, поскольку линейная скорость в этом случае равна нулю и система не является плоской. Для решения этой проблемы предлагается следующий подход. Пусть примитив поворота задан начальными и конечными условиями:

$$(16) \quad \theta(0) = \theta_0, \quad \frac{d\theta}{dt}(0) = 0, \quad \theta(t_f) = \theta_f, \quad \frac{d\theta}{dt}(t_f) = 0.$$

Поскольку задано 4 граничных условия, можно выбрать зависимость  $\bar{\theta}(t)$  от времени (т.е. примитив движения) как многочлен третьего порядка:

$$\bar{\theta}(t) = \bar{\theta}_0 + \bar{\theta}_1 t + \bar{\theta}_2 t^2 + \bar{\theta}_3 t^3, \quad \frac{d\bar{\theta}}{dt} = \bar{\theta}_1 + 2\bar{\theta}_2 t + 3\bar{\theta}_3 t^2.$$

Подставляя  $t = 0$  и  $t = t_f$  и учитывая (16), получаем систему линейных алгебраических уравнений четвертого порядка. Решение этой системы дает коэффициенты полинома  $\bar{\theta}(t)$ . Более того, производная этого многочлена задает программное управление, реализующее заданный примитив поворота:

$$(17) \quad \omega = \frac{d\bar{\theta}}{dt}, \quad v = 0.$$

Поскольку в статье полагается, что начальная и конечная ориентации примитива принимают ограниченный набор значений с шагом  $45^\circ$ , то достаточно задать повороты на месте на  $k \cdot 45^\circ$  градусов, где  $k = 1, \dots, 7$ . Продолжительность каждого примитива поворота,  $t_f$ , выбирается аналогично тому, как выбирается продолжительность примитива перемещения.

## 6. Планирование траектории с примитивами движений

Задача планирования заключается в построении траектории, которая достигает целевого состояния робота из начального и при том избегает столкновений со статическими и динамическими препятствиями. Такую траекторию можно представить как последовательность действий и записать в виде:  $\pi = (a_1, t_1), \dots, (a_n, t_n)$ , где  $a_i$  – это действие, а  $t_i$  – момент времени, в который это действие должно быть совершено. При этом каждое действие  $a_i$  является либо действием *движения*, соответствующим одному из описанных ранее примитивов, либо действием *ожидания*. Продолжительность каждого действия движения заранее известна, в то время как продолжительность действия ожидания может быть произвольной (расчет продолжительности действий ожидания – задача алгоритма планирования).

Напомним, что примитивы движения построены таким образом, что конечные положения, в которые они переводят робота, имеют целочисленные координаты. Используя эту особенность, рабочее пространство  $\mathcal{W}$  может быть дискретизировано и представлено в виде графа регулярной декомпозиции (англ. grid), где каждая вершина соответствует некоторой области рабочего пространства [27], см. рис. 1, в. Соответственно каждая вершина графа (клетка) может быть либо заблокированной, либо незаблокированной. Ребра графа задаются имплицитно с помощью примитивов движения. Естественно, допускаются перемещения только между незаблокированными вершинами, при этом в процессе движения робот не должен задевать ни одну заблокированную клетку. Столкновения с динамическими препятствиями при нахождении в вершинах графа и движении по ребрам учитываются непосредственно в алгоритме планирования.

Для описания состояния робота при планировании,  $cfg$ , учитываются следующие параметры: положение, ориентация и скорость, т.е.  $cfg = (x, y, \theta, v)$ . Такое состояние называется конфигурацией. Для учета временной составляющей и избегания динамических препятствий используется подход безопасно-интервального планирования (SIPP, англ. Safe Interval Path Planning) [4].

В рамках этого подхода для каждой конфигурации, в которой роботом может выполняться действие ожидания, вводятся безопасные и конфликтные интервалы времени. Безопасный интервал для конфигурации  $cfg$  – это совокупность тех моментов времени, в течение которых робот может находиться в  $cfg$  без столкновения с динамическими препятствиями (о том, как рассчитывается безопасный интервал, будет сказано далее). Для построения траектории осуществляется эвристический поиск в пространстве состояний, состоящих из комбинаций конфигураций робота и соответствующих им безопасных интервалов, т.е. состояние эвристического поиска – это пара  $(cfg, [t_1, t_2])$ , где  $cfg$  – конфигурация,  $[t_1, t_2]$  – безопасный интервал для  $cfg$ .

Процесс планирования аналогичен принципу работы алгоритма  $A^*$  [28] и основан на итеративном переборе лучших состояний поиска и генерации их последователей (пока не будет рассмотрено состояние, соответствующее цели робота). Важной особенностью безопасно-интервального планирования явля-

ется процесс генерации потомков для рассматриваемого состояния поиска. В рамках этого процесса SIPP пытается достичь их в минимально возможное время (так называемый принцип “достигай как можно раньше”, англ. — earliest arrival time), учитывая при этом возможные конфликты с динамическими препятствиями при выполнении движения. Другими словами, алгоритм либо сразу совершает действие движения, либо если это невозможно из-за динамических препятствий, осуществляет действие ожидания минимально возможной продолжительности (о том, как вычисляется эта продолжительность, будет сказано далее). Известно, что алгоритм SIPP обладает свойствами полноты и оптимальности, т.е. алгоритм гарантирует нахождение решения, если оно существует, более того возвращаемое решение гарантированно является оптимальным (с учетом заданной дискретизации рабочего пространства).

Далее приведем подробное описание реализации основных компонентов алгоритма SIPP, о которых было сказано выше: расчет безопасных интервалов, детектирование конфликтов и расчет минимального времени достижения состояния.

### *6.1. Модель столкновений*

В этой статье предполагается, что столкновение между роботом и динамическим препятствием происходит, если расстояние между их центрами становится меньше, чем  $r_a + r_o$ , где  $r_a$  — это радиус безопасности для робота,  $r_o$  — для препятствия. Таким образом, можно считать, что робот и динамические препятствия моделируются дисками (кругами). Также предполагается, что траектория каждого движущегося препятствия известна планировщику и доступна в виде  $\{(x_i, y_i, \theta_i, t_i)\}$ , т.е. в виде последовательности конфигураций (с фиксированной частотой временной дискретизации траектории).

### *6.2. Безопасные интервалы*

Для своей работы планировщику необходимо для каждой конфигурации  $(x, y, \theta, v)$ , в которой робот может выполнять действие ожидания, вычислять безопасный интервал. В рассматриваемом случае такие действия робот может выполнять только в центрах клеток графа регулярной декомпозиции. Обозначим их как  $c = (x_c, y_c)$ . Заметим далее, что следствием введенной выше модели столкновений является тот факт, что все конфигурации робота с центром в клетке  $c$ , т.е. конфигурации вида  $(x_c, y_c, \cdot, \cdot)$ , имеют одни и те же безопасные интервалы. Таким образом, необходимо рассчитывать безопасные интервалы лишь для клеток графа.

Для расчета безопасных интервалов клеток применяется следующий подход. Последовательно осуществляется перебор всех траекторий динамических препятствий, и для каждой такой траектории, заданной как  $\{(x_i, y_i, \theta_i, t_i)\}$ , и для каждого  $t_i$  вычисляется расстояние от  $(x_i, y_i)$  до центров ближайших клеток. Если для какой-либо клетки  $c = (x_c, y_c)$  это расстояние меньше, чем  $r_a + r_o$ , то  $t_i$  принадлежит к небезопасному интервалу  $c$ , т.е. если

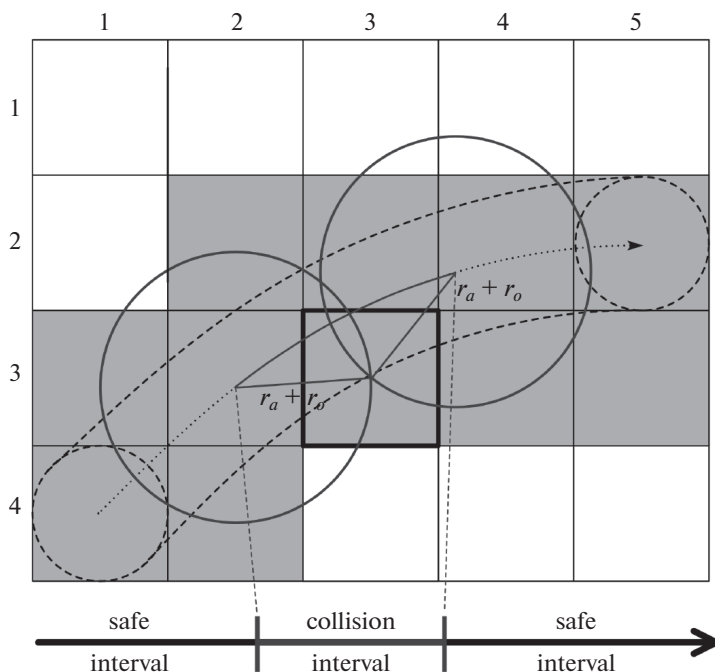


Рис. 2. Определение безопасных интервалов для конфигураций робота с  $x = 3$ ,  $y = 3$ . Серым показаны клетки, которые задевает динамическое препятствие при следовании по криволинейной траектории, указанной точечной стрелкой (из клетки 1, 4 в клетку 5, 2). Обозначенный сплошной линией сегмент на этой траектории — тот сегмент, когда расстояние от центра препятствия до центра клетки меньше, чем  $r_a + r_o$ , т.е. границы этого сегмента определяют небезопасный интервал для клетки. Его инверсия задает набор из двух безопасных интервалов.

робот будет занимать эту клетку в момент  $t_i$ , — произойдет столкновение с движущимся препятствием. Группировка таких идущих подряд  $t_i$  дает полный небезопасный интервал, а инверсия всех небезопасных интервалов для клетки — безопасные. Иллюстрация этого процесса показана на рис. 2.

### 6.3. Расчет минимального времени достижения состояния поиска

Одним из основных принципов безопасно-интервального планирования как эвристического поиска является принцип достижения каждого создаваемого состояния поиска в минимально возможное время. Этот принцип гарантирует полноту и оптимальность алгоритма. Опишем реализацию принципа в рассматриваемом случае.

Пусть на текущей итерации поиска рассматривается состояние  $n = (cfg, [t_1, t_2])$ , где  $cfg = (x, y, \theta, v)$  — конфигурация робота,  $[t_1, t_2]$  — безопасный интервал. Известно, что робот достигает этого состояния в момент времени  $t_n$ . Пусть в этом состоянии применимо действие перемещения  $a$ , в результате которого робот может быть перемещен в состояние  $n' = (cfg', [t'_1, t'_2])$ .

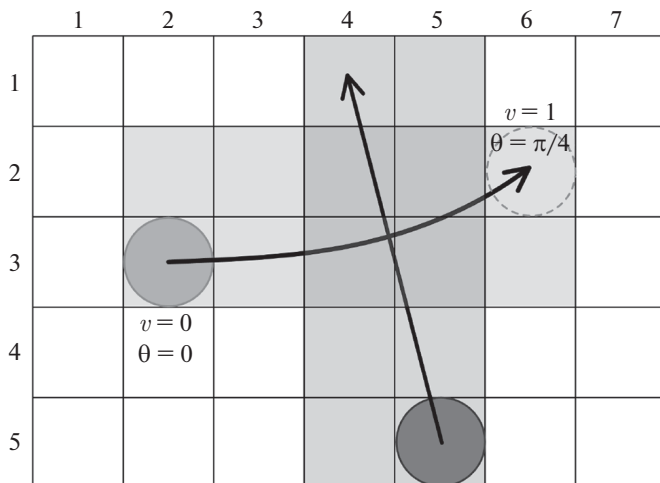


Рис. 3. Определение мест потенциальных столкновений робота с динамическим препятствием. Столкновение возможно только в клетках с координатами 4, 2; 4, 3; 5, 2 и 5, 3.

Согласно принципу “достигай как можно раньше” алгоритм должен применить действие  $a$  именно в момент  $t_n$ . Однако на практике это может привести к столкновению с динамическим препятствием. Для того чтобы правильно обрабатывать эту ситуацию, алгоритм планирования должен, во-первых, уметь детектировать такие столкновения, во-вторых, вычислять минимально возможное время ожидания в исходной конфигурации  $cfg$  и совершать действие  $a$  по истечении этого времени.

Для определения столкновений предлагается использовать подход, аналогичный описанному в [29]. В рамках этого подхода считается, что столкновение между движущимся препятствием и роботом происходит тогда, когда существует момент времени, в который и робот, и препятствие пересекают одну и ту же клетку графа регулярной декомпозиции. Иллюстрация этого положения показана на рис. 3. Формально же факт одновременного пересечения клетки агентом и препятствием можно сформулировать следующим образом. Пусть  $l_a = [t_a, t'_a]$  и  $l_o = [t_o, t'_o]$  – временные интервалы, в течение которых робот/движущееся препятствие пересекают одну и ту же клетку графа регулярной декомпозиции. Столкновение происходит, если  $l_a \cap l_o \neq \emptyset$ .

Для расчета непосредственно интервалов  $l_a$  и  $l_o$  используется та же процедура, что и для расчета безопасных интервалов состояний поиска (см. выше). Различие состоит в том, что в данном случае, если идет расчет  $l_o$  ( $l_a$ ), используется формула  $r_o + \sqrt{2}/2$  ( $r_a + \sqrt{2}/2$ ), а не  $r_a + r_o$ . Модификация обусловлена тем, что необходимо вычислить интервал столкновения препятствия (робота) с клеткой безотносительно размера робота (препятствия), поэтому  $r_a$  ( $r_o$ ) заменяется на  $\sqrt{2}/2$ , что в свою очередь равняется радиусу описанной (вокруг клетки) окружности. Заметим, что такой способ определения временного интервала столкновения клетки и движущегося препятствия (робота) является

консервативным, т.е. гарантируется, что в любой момент вне этого интервала столкновения не будет, но при этом обратное, в общем случае, неверно.

Итак, пусть теперь при попытке совершить действие  $a$  без задержки, т.е. в момент времени  $t_n$ , алгоритм определяет, что происходит столкновение в определенной клетке графа, т.е.  $[t_a, t'_a] \cap [t_o, t'_o] \neq \emptyset$ . Тогда перед совершением движения необходимо добавить задержку (действие ожидания), продолжительность которой составляет  $\delta = t'_o - t_a$ . Такая задержка гарантирует, что столкновения в указанной выше клетке более не будет. Таким образом, процесс вычисления минимально возможного времени ожидания перед совершением действия  $a$  состоит в последовательном переборе клеток, которые задевает примитив движения, соответствующий действию  $a$ , и применению в отношении каждой из таких клеток процедуры расчета задержки, описанной выше.

## 7. Следование по траектории

Построенные примитивы являются непрерывными по переменным  $x, y, \theta, v$ , но разрывны по угловой скорости  $\omega$ . Таким образом, при переключении примитивов возникает переходный процесс, и полученные ранее программные управления при повороте и перемещении должны быть заменены на обратную связь, которая компенсирует отклонения от желаемой траектории.

Для реализации следования по примитивам перемещения предлагается использование следующей обратной связи, заменяющей (14):

$$(18) \quad \psi_1 = \ddot{x}^* + (\lambda_1 + \lambda_2)(\dot{x} - \dot{x}^*) - \lambda_1 \lambda_2(x - x^*),$$

$$(19) \quad \psi_2 = \ddot{y}^* + (\lambda_1 + \lambda_2)(\dot{y} - \dot{y}^*) - \lambda_1 \lambda_2(y - y^*).$$

Здесь  $x^*, y^*$  – желаемые траектории для  $x, y$  соответственно, а  $\lambda_1 < 0, \lambda_2 < 0$  – параметры, влияющие на длительность переходного процесса, которые подбираются эмпирически. Чем больше они по модулю, тем быстрее закон управления способен компенсировать отклонение, но это может потребовать большого расхода управления, и ограничения на управление могут быть нарушены. В численных экспериментах были использованы следующие значения этих параметров:  $\lambda_1 = -4, \lambda_2 = -5$ . Дополнительно при околонулевых скоростях  $\psi_i$  умножается на положительный коэффициент, который ограничивает рост угловой скорости и углового ускорения. Этот коэффициент уменьшается при увеличении линейной скорости  $v$ .

Для реализации примитивов поворота на месте программное управление (17) заменяется на следующую обратную связь:

$$(20) \quad v = 0, \quad \omega = \dot{\theta}^* + \lambda_1(\theta - \theta^*),$$

где  $\theta^*$  – планируемая зависимость изменения значения  $\theta$  от времени.

При реализации целой траектории происходит переключение между двумя типами регуляторов в зависимости от типа движения, которое по плану исполняет робот в текущий момент. Полученный таким образом закон

управления будем называть плоскостной динамической обратной связью по состоянию (flatness-based dynamic state feedback control, FBDF).

## 8. Численные эксперименты

Для оценки предлагаемых в статье методов и алгоритмов планирования и управления была проведена серия численных экспериментов. Сначала было произведено сравнение разработанного регулятора FBDF с наиболее часто используемым в робототехнике регулятором MPC на отдельных примитивах. Далее был выполнен анализ того, как быстро работает предлагаемый планировщик и как меняется скорость его работы при увеличении числа динамических препятствий. Далее произведено сравнение работы двух рассматриваемых законов управления FBDF и MPC при следовании по построенным траекториям.

### 8.1. Сравнение FBDF и MPC на отдельных маневрах

Численные эксперименты по сравнению регуляторов на отдельных примитивах производились на ПК с процессором Intel Core i5-8250U и 8 Гб ОЗУ под управлением ОС Windows 10.

Оба закона управления были численно реализованы в MATLAB R2020a (для реализации нелинейного MPC была использована функция `nmpc`). Для выбора наилучших параметров MPC была проведена серия предварительных численных экспериментов, и в результате получены следующие параметры: интервал дискретизации (sample time)  $T_s = 0,1$ , горизонт предсказания (prediction horizon)  $p = 10$ , горизонт управления (control horizon)  $c = 5$ , весовая матрица коэффициентов отклонения по состоянию  $Q_m = \text{diag}(10, 10, 1, 1)$  для примитивов перемещения и  $Q_r = \text{diag}(10, 10, 1)$  для примитивов поворота на месте, весовая матрица коэффициентов перед управлением  $R = \text{diag}(1, 1, 1)$ . Для оценки эффективности законов управления использовался квадратичный критерий оценки стоимости с весовыми матрицами  $R$ ,  $Q_m$  или  $Q_r$ . В частности, для оценки эффективности управления для примитивов перемещения использовался критерий

$$Cost = \sum_{\alpha=1}^N Q_m(\tilde{\mathbf{x}}_{\alpha} - \tilde{\mathbf{x}}_{\alpha}^*)^2 + \sum_{\alpha=1}^N R\psi_{\alpha}^2,$$

где  $\tilde{\mathbf{x}}_{\alpha}$  — расширенный вектор состояния на шаге  $t_{\alpha}$ ,  $\tilde{\mathbf{x}}_{\alpha}^*$  — значение планируемого вектора состояния в момент времени  $t_{\alpha}$ ,  $\psi_{\alpha}$  — вектор управления в расширенной системе в момент времени  $t_{\alpha}$ ,  $N$  — количество шагов дискретизации по времени. Для оценки эффективности исполнения примитивов поворота на месте использовался аналогичный критерий.

Для сравнения были выбраны четыре различных примитива перемещения и четыре различных примитива поворота на месте. Остальные типы примитивов могут быть получены аффинными преобразованиями восьми указанных примитивов. Для сравнения не использовались примитивы, которые



**Таблица 1.** Эффективность законов управления на отдельных маневрах. В первых двух столбцах указаны примитивы движения (каждая строка — отдельный примитив). В следующих столбцах — показатели качества работы регуляторов FBDF и MPC при обработке этих примитивов

Примитивы		FBDF		MPC	
Начало	Цель	Стоимость	Время, мс	Стоимость	Время, мс
(0, 0, 0°, 1)	(1, 0, 0°, 1)	0,141	5	0,093	586
(0, 0, 0°, 1)	(4, 1, 45°, 1)	0,295	15	0,274	2 320
(0, 0, 45°, 1)	(1, 1, 45°, 1)	0,094	5	0,073	845
(0, 0, 45°, 1)	(2, 4, 90°, 1)	0,186	17	0,177	2 385
(0, 0, 0°, 0)	(0, 0, 45°, 0)	0,322	8	0,313	799
(0, 0, 0°, 0)	(0, 0, 90°, 0)	0,911	10	0,897	1 111
(0, 0, 0°, 0)	(0, 0, 135°, 0)	1,673	12	1,657	1 336
(0, 0, 0°, 0)	(0, 0, 180°, 0)	2,572	17	2,555	2 545

включают разгон от нулевой скорости или торможение до полной остановки, поскольку в этом случае оба метода требуют переключения методов управления, что может исказить представление об их эффективности.

Для каждого маневра оценка качества закона управления проводилась с использованием подходящего квадратичного критерия (чем меньше значение функции стоимости, тем лучше), а также времени расчета управления для реализации заданного примитива (чем меньше время расчета, тем лучше). Результаты приведены в табл. 1. Видно, что предлагаемый закон управления рассчитывает управление на два порядка быстрее, чем MPC, при сравнимом качестве управления, несмотря на то что FBDF не оптимизирует функцию стоимости в отличие от MPC.

### 8.2. Планирование и следование вдоль траектории

Для проведения экспериментальных исследований использовались два графа регулярной декомпозиции размером  $64 \times 64$  клеток, в которых каждая клетка соответствует области площадью  $1 \text{ м}^2$ . Первая карта, `empty64x64`, не содержит статических препятствий. Вторая карта, `rooms64x64`, представляет собой набор комнат, соединенных узкими проходами шириной 1 м (эта карта была взята из открытой коллекции карт, используемых для тестирования алгоритмов планирования [30]).

Робот и динамические препятствия моделировались диском радиуса 0,5 м. Число динамических препятствий варьировалось в диапазоне от 100 до 250. Для каждого динамического препятствия была случайным образом построена траектория, состоящая от последовательности прямолинейных движений. Для каждой карты и количества динамических препятствий было подготовлено по 100 заданий, различающихся траекториями динамических препятствий, а также их начальными и конечными положениями. Для каждого задания начальное положение робота находилось в левой верхней клетке, а целевое — в правой нижней (т.е. роботу необходимо было пересечь всю карту, чтобы достигнуть цели).

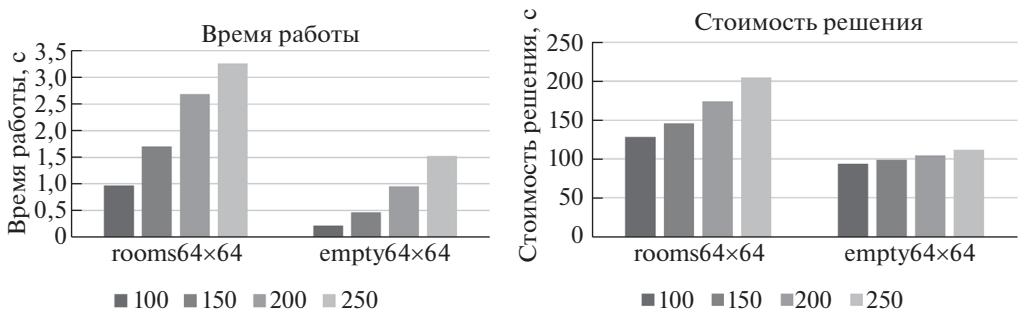


Рис. 4. Среднее время работы алгоритма планирования и средняя стоимость отыскиваемых решений (продолжительность спланированных траекторий) в зависимости от протестированной карты и числа динамических препятствий.

Численные эксперименты по планированию траектории производились на ПК с процессором Intel Core i5-10600k и 32 Гб ОЗУ под управлением ОС Windows 10.

Графики на рис. 4 демонстрируют среднее время работы алгоритма и среднюю стоимость найденных траекторий. В данном случае под стоимостью понимается время, необходимое для достижения целевого положения. Как можно заметить, с увеличением числа динамических препятствий увеличивается и время работы алгоритма. Однако рост — не экспоненциальный, а полиномиальный (близкий к линейному). Отдельно заметим, что на пустой карте при числе динамических препятствий, равном 100, планирование осуществляется за доли секунды (порядка 0,15 с). Также видно, что стоимость решения увеличивается с ростом числа динамических препятствий незначительно (особенно в случае пустой карты).

После того как траектории были построены, были использованы регуляторы MPC и FBDF для следования по ним. Для оценки точности следования по траектории было вычислено расстояние между запланированным и реальным положением робота в каждый момент времени с шагом 10 мс. График, показывающий отклонение на одной из построенных траекторий, показан на рис. 5. Здесь слева — отклонения положения робота при следовании по траектории от запланированной траектории, справа — внешний вид самой траектории (робот движется из левого верхнего угла в правый нижний, динамические препятствия не изображены). Заметные скачки у регулятора FBDF наблюдаются в тех случаях, когда происходит переключение между примитивами вращения и перемещения (такие места на траектории отмечены кругами на правой части рисунка), при этом регулятор способен быстро компенсировать эти отклонения. В целом, как видно на графике, отклонение от траектории для регулятора FBDF ниже, чем для MPC.

Для сравнения регуляторов на всех спланированных траекториях были рассчитаны значения среднеквадратичной ошибки (RMSE) и максимального отклонения от запланированной траектории. Соответствующие результаты представлены в табл. 2. Как показали результаты экспериментов, регулятор

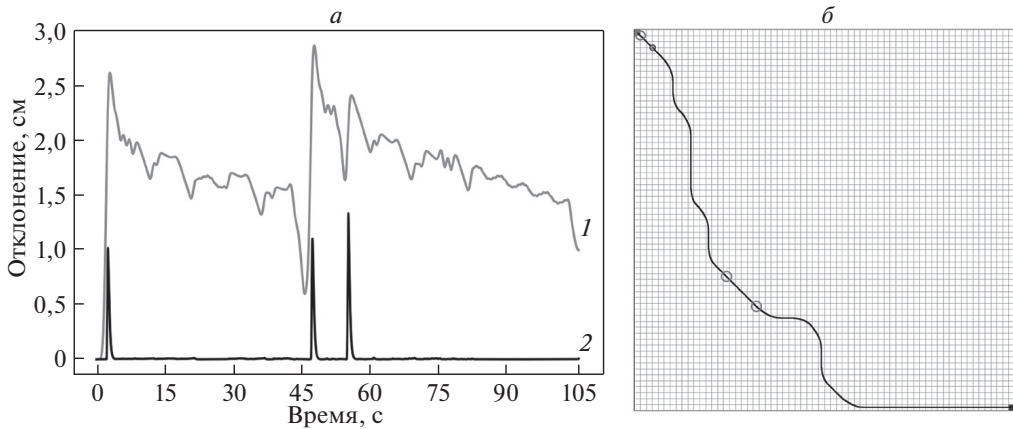


Рис. 5. Сравнение регуляторов FBDF и MPC при следовании по отдельной траектории. *а* — график ошибки следования. 1 — MPC, 2 — FBDF. По оси абсцисс — время (в секундах), по оси ординат — отклонение положения робота от запланированного в данный момент времени (в сантиметрах); *б* — сама (запланированная) траектория. Окружностями отмечены места стыковки маневров, при которых происходят скачки управления регулятора FBDF (пики на графике *а*).

FBDF имеет почти на порядок меньшее значение среднеквадратичной ошибки и вдвое меньшее максимальное отклонение. С увеличением числа динамических препятствий значения среднеквадратичной ошибки растут для обоих регуляторов. Этот рост обусловлен более длинными траекториями, а также наличием большего числа действий ожидания и вращений, что вынуждает регулятор чаще переключаться. Полученные траектории были также проверены на наличие конфликтов с динамическими препятствиями. В то время как спланированные траектории гарантированно являются неконфликтными, из-за наличия отклонений в процессе следования они все же могут возникать. В рассмотренных заданиях конфликтными оказались 15 траекторий, полученных с помощью регулятора MPC, и всего одна, полученная с помо-

**Таблица 2.** Среднеквадратичные ошибки (RMSE) и максимальные отклонения (MaxDev) при следовании по спланированным траекториям, усредненные по всем заданиям для фиксированного числа динамических препятствий. Единица измерения — сантиметр. Первый столбец — число динамических препятствий, последующие — количественные показатели качества следования по траекториям с заданным числом динамических препятствий для регуляторов MPC и FBDF

Obs	MPC		FBDF	
	RMSE, см	MaxDev, см	RMSE, см	MaxDev, см
100	1,012	3,741	0,104	1,408
150	1,093	4,172	0,120	1,407
200	1,143	4,286	0,130	1,409
250	1,187	4,018	0,138	1,410

цию FBDF. При этом во всех случаях расстояние между роботом и динамическим препятствием не превышало величину  $r_a + r_o$  более чем на 1 см, где  $r_a, r_o$  – радиус робота/препятствия (равный 50 см). Таким образом, если для алгоритма планирования траектории искусственно увеличить радиус робота всего на 1 см (создать буфер безопасности), то следование по спланированным траекториям будет проходить без столкновений.

## 9. Заключение

В статье предложена комбинация методов планирования и управления для обеспечения безопасного движения мобильного робота с дифференциальным приводом в среде со статическими и динамическими препятствиями. В части управления предложено использование метода накрытий для плоских систем, который позволяет решать задачи построения кинематически и динамически допустимых примитивов движения, а также следования вдоль композиции примитивов (траектории). В части построения траектории предложено использование алгоритма безопасно-интервального планирования, в рамках которого построенные примитивы движения используются для конструирования траектории, избегающей столкновения как со статическими, так и с динамическими препятствиями.

В данной статье задача планирования в динамической модели мира рассматривалась отдельно от задачи построения таковой. Предполагалось, что имеющаяся модель полна и точна, т.е. точно известно расположение всех статических препятствий на карте и также точно известны (спрогнозированы) траектории движения динамических препятствий. Очевидно, что на практике получение подобных точных моделей весьма затруднительно, если вообще возможно. Таким образом, перспективным направлением дальнейших работ является исследование методов планирования и исполнения плана в условиях неточной модели, например, когда траектории движения динамических препятствий заданы вероятностными распределениями. Еще одним перспективным направлением видится разработка метода автоматической генерации произвольных примитивов движения и интеграция этого метода с алгоритмами планирования траектории, основанными на принципах случайного сэмплирования. Также представляет особый интерес проведение экспериментальных исследований указанных методов и алгоритмов на реальном роботе.

## СПИСОК ЛИТЕРАТУРЫ

1. *McGuire K.N., de Croon G.C.H.E., Tuyls K.A.* Comparative Study of Bug Algorithms for Robot Navigation // *Robotics and Autonomous Syst.* 2019. V. 121. P. 103261.
2. *Berg J., et al.* Reciprocal  $n$ -body Collision Avoidance // *Robotics Research.* Berlin–Heidelberg: Springer, 2011. P. 3–19.
3. *Koenig S., Likhachev M.* D\* Lite // 18th National Conf. on Artificial Intelligence. 2002. P. 476–483.

4. *Phillips M., Likhachev M.* SIPP: Safe Interval Path Planning for Dynamic Environments // 2011 IEEE Int. Conf. on Robotics and Automation. IEEE, 2011. P. 5628–5635.
5. *Mayne D.Q., et al.* Constrained Model Predictive Control: Stability and Optimality // *Automatica*. 2000. V. 36. No. 6. P. 789–814.
6. *Бочаров А.В., Вербовецкий А. М.* Симметрии и законы сохранения математической физики // М.: Факториал, 2005.
7. *Likhachev M., Ferguson D.* Planning Long Dynamically Feasible Maneuvers for Autonomous Vehicles // *Int. J. of Robotics Research*. 2009. V. 28. No. 8. P. 933–945.
8. *Sakcak B., et al.* Sampling-Based Optimal Kinodynamic Planning with Motion Primitives // *Autonomous Robots*. 2019. V. 43. No. 7. P. 1715–1732.
9. *Pivtoraiko M., Kelly A.* Generating Near Minimal Spanning Control Sets for Constrained Motion Planning in Discrete State Spaces // 2005 IEEE/RSJ Int. Conf. on Intelligent Robots and Syst. IEEE, 2005. P. 3231–3237.
10. *hwan Jeon J., Karaman S., Frazzoli E.* Anytime Computation of Time-Optimal Off-road Vehicle Maneuvers Using the RRT // 2011 50th IEEE Conf. on Decision and Control and Eur. Control Conf. IEEE, 2011. P. 3276–3282.
11. *Webb D.J., Van Den Berg J.* Kinodynamic RRT\*: Asymptotically Optimal Motion Planning for Robots with Linear Dynamics // 2013 IEEE Int. Conf. on Robotics and Automation. IEEE, 2013. P. 5054–5061.
12. *Flores M.E., Milam M.B.* Trajectory Generation for Differentially Flat Systems via NURBS Basis Functions with Obstacle Avoidance // 2006 Amer. Control Conf. IEEE, 2006. P. 5769–5775.
13. *Rufti M., Ferguson D., Siegwart R.* Smooth Path Planning in Constrained Environments // 2009 IEEE Int. Conf. on Robotics and Automation. IEEE, 2009. P. 3780–3785.
14. *Silver D.* Cooperative Pathfinding // *Proc. AAAI Conf. on Artificial Intelligence and Interactive Digital Entertainment*. 2005. V. 1. No. 1. P. 117–122.
15. *Isidori A.* Nonlinear Control Systems. Berlin: Springer, 1995.
16. *Khalil H.K.* Nonlinear Systems (3rd ed.). Upper Saddle River. NJ: Prentice Hall, 2002.
17. *Utkin V.I.* Sliding Mode Control Design Principles and Applications to Electric Drives // *IEEE Trans. on Industrial Electronics*. 1993. V. 40. No. 1. P. 23–36.
18. *Yu S., et al.* MPC for Path Following Problems of Wheeled Mobile Robots // *IFAC-PapersOnLine*. 2018. V. 51. Np. 20. P. 247–252.
19. *Fliess M., et al.* Flatness and Defect of Non-Linear Systems: Introductory Theory and Examples // *Int. J. Control*. 1995. V. 61. No. 6. P. 1327–1361.
20. *Bascetta L., Arrieta I.M., Prandini M.* Flat-RRT\*: A Sampling-Based Optimal Trajectory Planner for Differentially Flat Vehicles with Constrained Dynamics // *IFAC-PapersOnLine*. 2017. V. 50. No. 1. P. 6965–6970.
21. *Sahoo S.R., Chiddarwar S.S.* Mobile Robot Control Using Bond Graph and Flatness Based Approach // *Procedia Computer Science*. 2018. V. 133. P. 213–221.
22. *Четвериков В.Н.* Плоскостность динамически линеаризуемых систем // *Диффер. уравнения*. 2004. Т. 40. № 12. С. 1665–1674.
23. *Беллинская Ю.С., Четвериков В.Н.* Метод накрытий для терминального управления с учетом ограничений // *Диффер. уравнения*. 2014. Т. 50. № 12. С. 1629–1639.

24. *Tang C.P.* Differential Flatness-Based Kinematic and Dynamic Control of A Differentially Driven Wheeled Mobile Robot // 2009 IEEE Int. Conf. on Robotics and Biomimetics (ROBIO). IEEE, 2009. P. 2267–2272.
25. *Andersson O., et al.* Receding-Horizon Lattice-Based Motion Planning with Dynamic Obstacle Avoidance // 2018 IEEE Conf. on Decision and Control (CDC). IEEE, 2018. P. 4467–4474.
26. *Belinskaya Y.S., Chetverikov V.N.* Covering Method for Point-To-Point Control of Constrained Flat Systems // IFAC-PapersOnLine. 2015. V. 48. No. 11. P. 924–929.
27. *Yap P.* Grid-Based Path-Finding // Conf. of the Canadian Society for Computational Studies of Intelligence. Berlin–Heidelberg: Springer, 2002. P. 44–55.
28. *Hart P.E., Nilsson N.J., Raphael B.* A Formal Basis for The Heuristic Determination of Minimum Cost Paths // IEEE Trans. Syst. Sci. and Cybernetics. 1968. V. 4. No. 2. P. 100–107.
29. *Cohen L., et al.* Optimal and Bounded-Suboptimal Multi-Agent Motion Planning // 12th Annual Sympos. on Combinatorial Search. 2019. P. 44–51.
30. *Sturtevant N.R.* Benchmarks for Grid-Based Pathfinding // IEEE Trans. Computational Intelligence and AI in Games. 2012. V. 4. No. 2. P. 144–148.

*Статья представлена к публикации членом редколлегии О.П. Кузнецовым.*

Поступила в редакцию 07.12.2021

После доработки 11.01.2022

Принята к публикации 26.01.2022